

# ゲノムワイド解析技術が拓く 計量形態学

岩田洋佳  
東大農学生命科学  
[aiwata@mail.ecc.u-tokyo.ac.jp](mailto:aiwata@mail.ecc.u-tokyo.ac.jp)

生態学会 2012.3.17@龍谷大:  
道具としての「形態測定学」:量的phenotypingの活用法

次世代シークエンサー(NGS)が  
もたらしたゲノミックスの新時代



1ランで600 Gb  
ヒトゲノム(約30億塩基対)  
の約200倍、  
イネゲノム(約4億塩基対)  
の約1500倍



Oxford Nanopore Technologies  
USBメモリサイズの  
シークエンサー

\$900で数10 Gb

# RRLs, RAD-seq, GBS ...

STUDY DESIGNS

## Genome-wide genetic marker discovery and genotyping using next-generation sequencing

John W. Davey\*, Paul A. Hohenlohe†, Paul D. Etter§, Jason Q. Boone||,  
Julian M. Catchen† and Mark L. Blaxter\*\*

Nature Reviews | Genetics | Vol 12 | 2011 | 499

Threespine stickleback  
(*Gasterosteus aculeatus*)



100個体  
45,000SNPsをジェノタイピング



ゲノムワイド集団遺伝学

Hohenlohe et al. 2010 PLoS Genetics 6(2): e1000862

Spotted gar (*Lepisosteus oculatus*)



F1集団94個体をジェノタイピング  
65,000タグのうち15,076が多型



連鎖地図(8406マーカー)

Amores et al. 2011 Genetics 188: 799

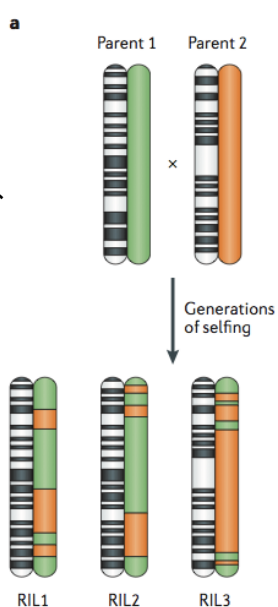
## 交配実験を行わずに遺伝子検出

(Genome-wide association study: GWAS)

従来の解析法

少数の親を交配し、  
その後代を解析

理由：  
親間の違い(色  
の違い)は分かっ  
ても、詳細なDNA  
多型(シマシマ)  
まで見分けられ  
なかつた



Morrell et al. (2012) Nature Review Genetics 13:85

解像度が低い、  
材料作りに時間がかかる



多数の個体(品種)を  
そのまま解析

理由：  
品種間に見られ  
る詳細なDNA多  
型(シマシマ)が  
見分けられるよう  
になった

解像度が高い、  
交配を行う必要がない

# ゲノムワイドマークによる選抜: ゲノミックセレクション

NATURE Vol 457/22 January 2009

NEWS



← 24頭のウシの、54,609箇所のDNA  
多型を、一度に解析できるチップ



GOT A NEWS TIP?  
Send any article ideas for  
Nature's News section to:  
[newstips@nature.com](mailto:newstips@nature.com)

## No bull: genes for better milk

On 13 January, the US Department of Agriculture (USDA) launched a service that allows dairy-cattle breeders to double their chances of selecting the best bulls to sire milk over during cows'



about \$225, and can be done when a bull is born, thus avoiding the \$25,000–50,000 cost of raising a bull for five years to see if it sires good milk-producing offspring. "The best bulls become elite breeders," says Van Tassell, "The others become hamburger."

Using high-throughput analysis, the researchers could then compare the DNA from a young dairy bull against the chip SNPs, telling breeders which bull would be likely to sire calves that were good milk producers. The test costs

US\$1 million research project directed by Curtis Van Tassell, a geneticist at the USDA's Bovine Functional Genomics Laboratory in Beltsville, Maryland. Working with Illumina Inc. of San Diego, California, Van Tassell's team created a microarray chip containing 54,000 genetic markers called single nucleotide

a dozen traits, including the

milk quality and productivity.

Using high-throughput analysis, the researchers could then compare the DNA from a young dairy bull against the chip SNPs, telling breeders which bull would be likely to sire calves that were good milk producers. The test costs

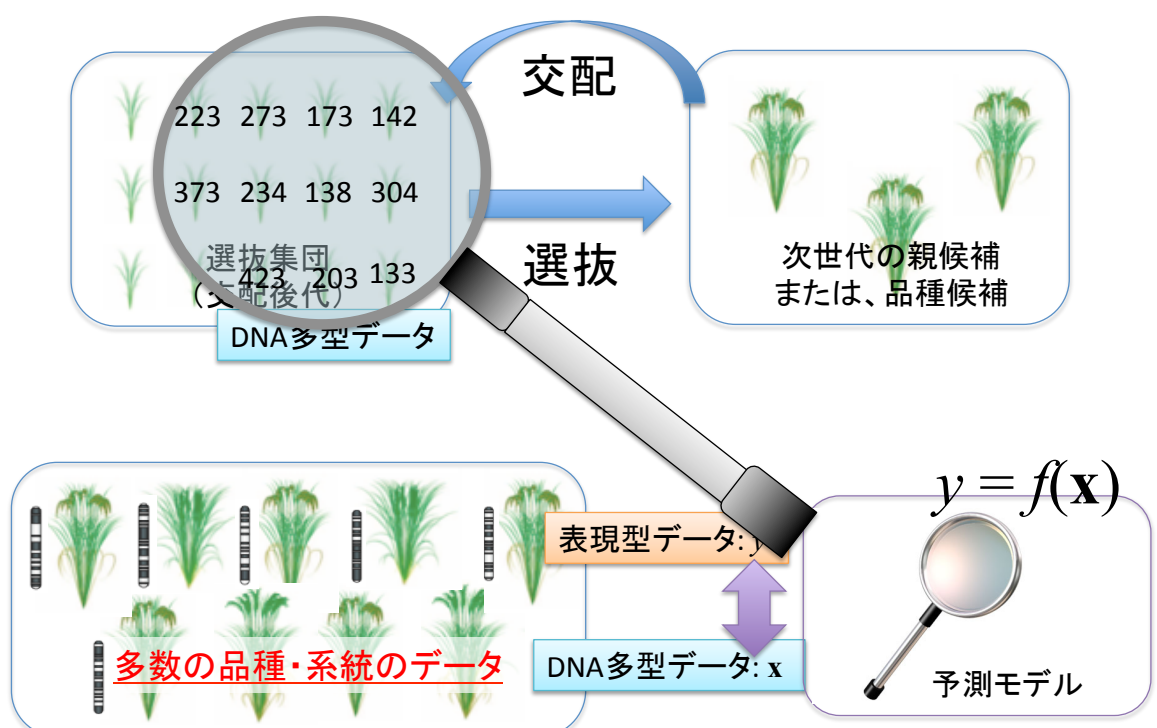
Aarhus University in Denmark, and in France and Australia.

Rex Dalton

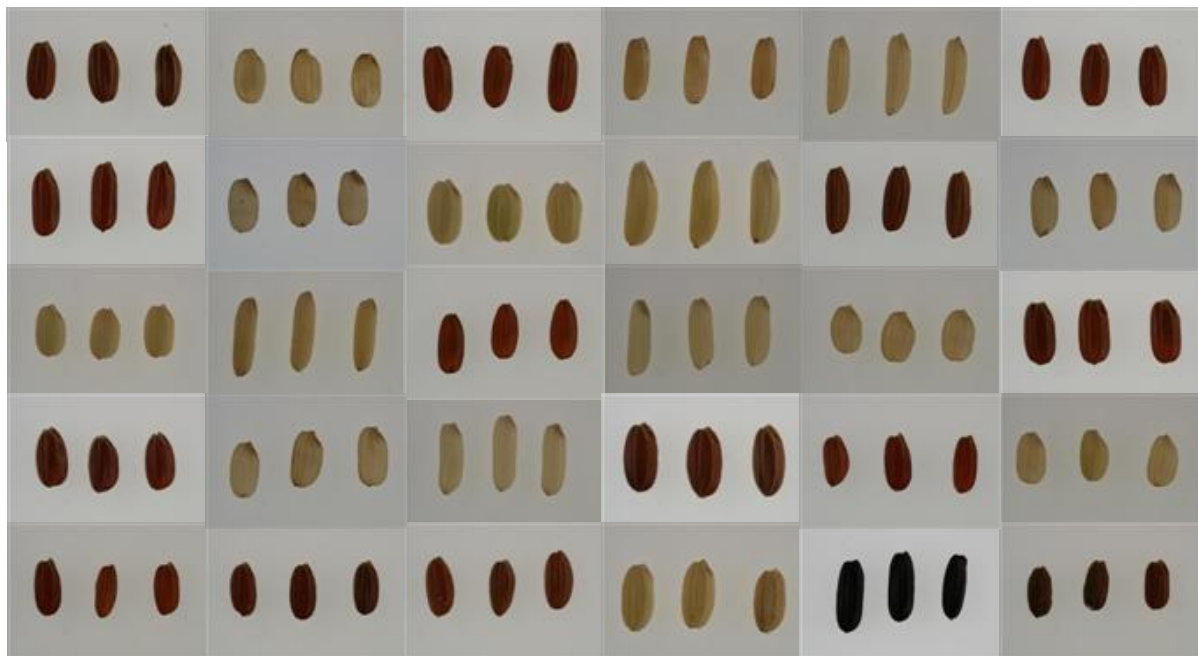
Published online 21 January 2009 | Nature 457, 369 (2009) | doi:10.1038/457369a

5

## Genomic selection (GS)



# アジア栽培イネ *Oryza sativa* の 玄米形変異

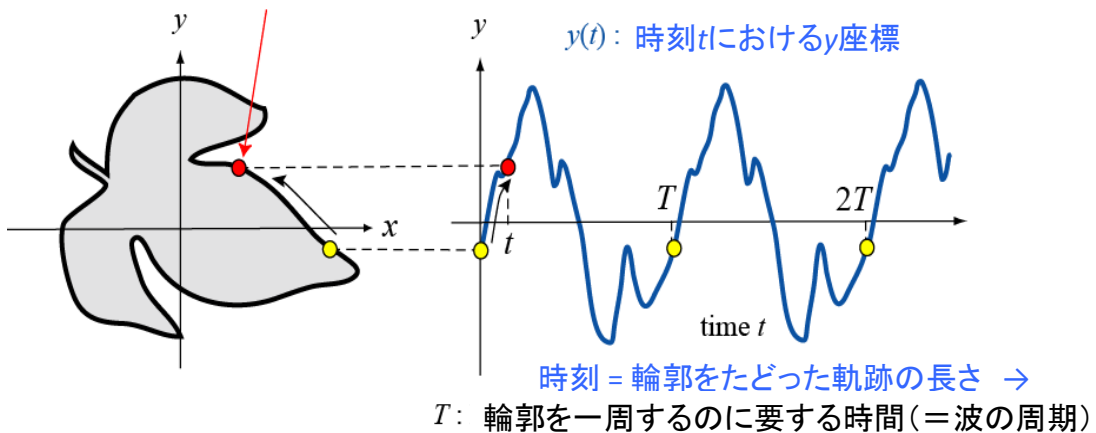


## 玄米形の解析

- 関連遺伝子の検出とその遺伝効果の推定
  - ゲノムワイドアソシエーション解析 (GWAS): 玄米形変異に関する遺伝子の検出
- 望ましい遺伝子型の効率的選抜
  - ゲノミックセレクション (GS): ゲノムワイドマーカーを用いて玄米形を予測する

# 橍円フーリエ記述子

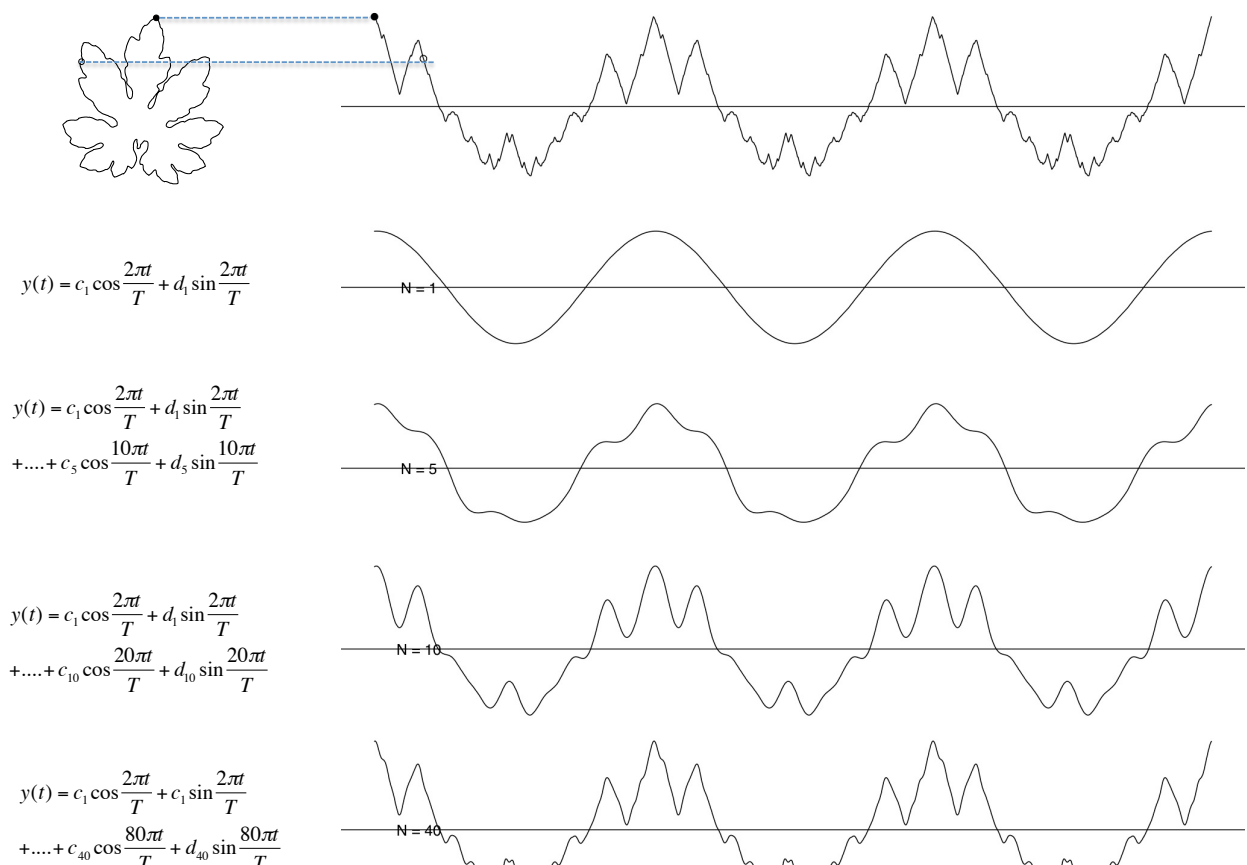
輪郭を一定速度でたどる



輪郭の形を波の形としてとらえ、波形関数のフーリエ級数展開により、形を数学的に記述する方法

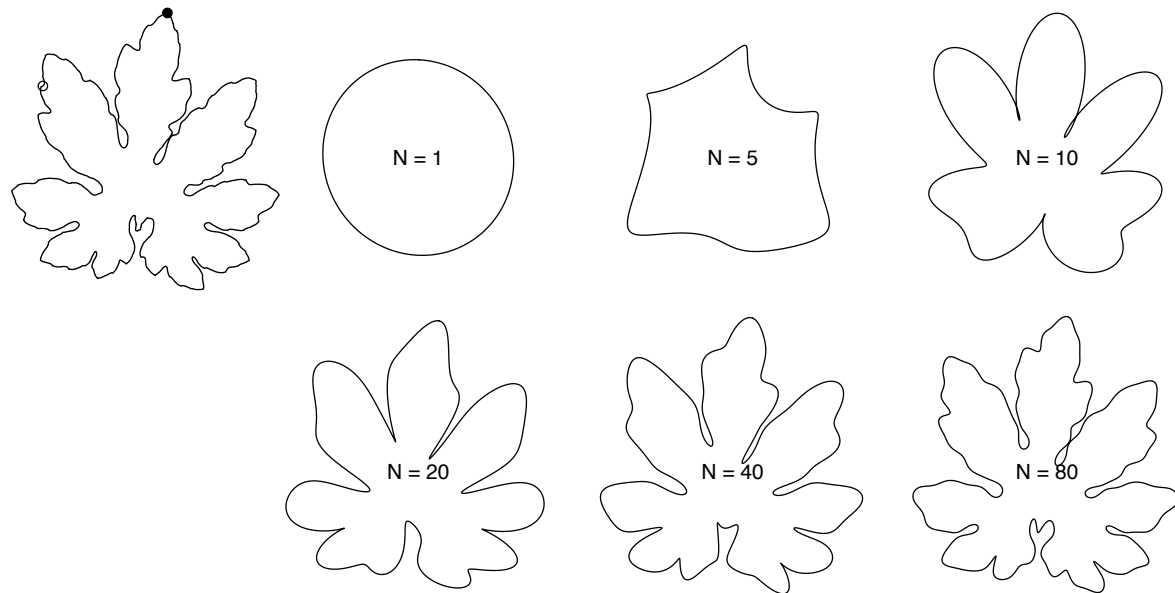
$$y(t) = \sum_{i=0}^N \left( c_i \cos \frac{2n\pi t}{T} + d_i \sin \frac{2n\pi t}{T} \right)$$

9



$x(t)$ についても同じように波を重ね合わせる際の重み(フーリエ係数)を求める

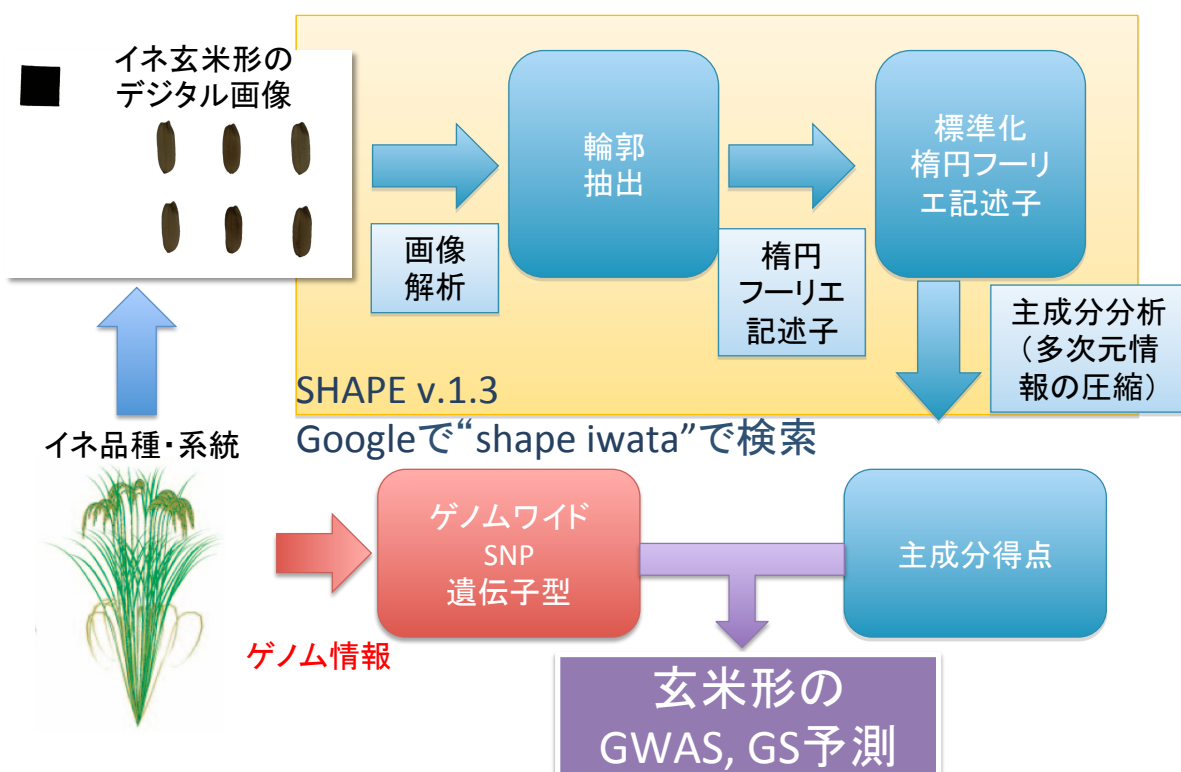
# 橙円フーリエ記述子による近似



Nを大きくすればするほど（より周期の短い波まで足し合わせれば合わせるほど）近似はよくなっていく（ただし、あまり大きくすると不要な変動（ノイズ）を拾う）

11

## 解析の流れ



# 解析材料

## データセット S1

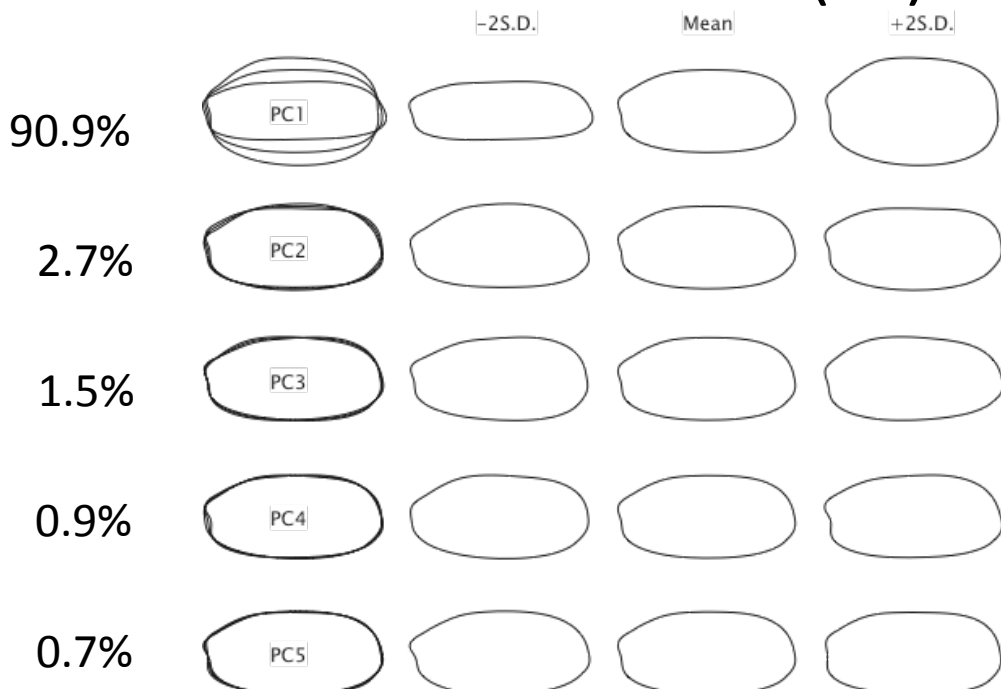
- 179 アクセッション  
(インディカ、ジャポニカの  
両方を含む。多くは在来品種)
- 3753 SNPs  
(fastPHASEで補完)

## データセット S2

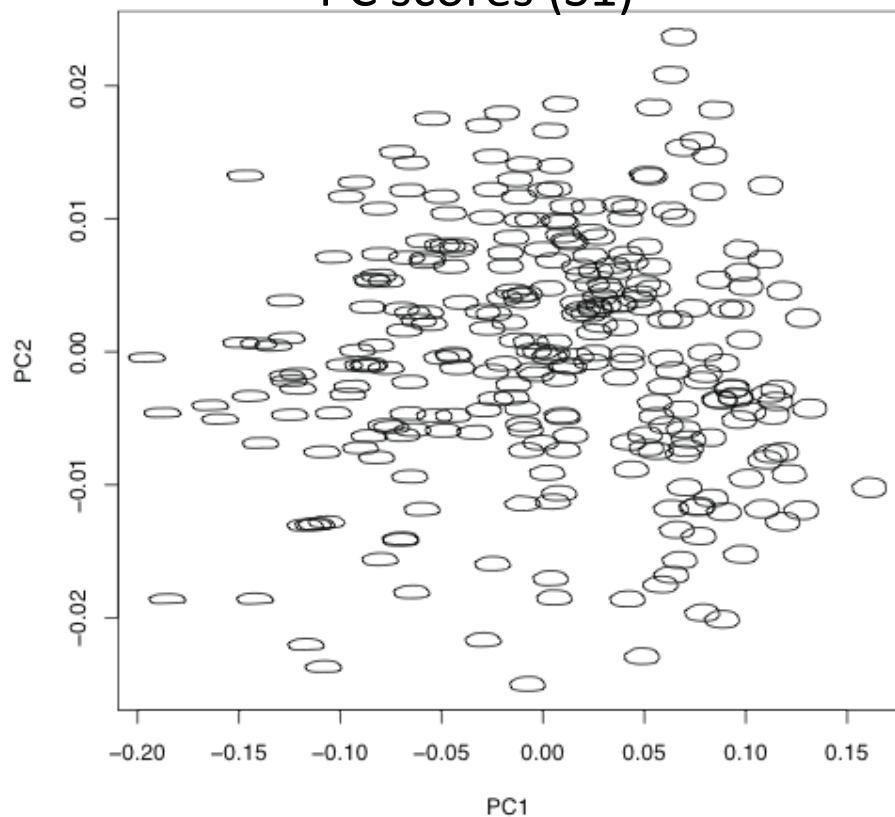
- 386 アクセッション
- 1311 SNPs

For S2, all materials were  
downloaded from  
<http://ricediversity.org/>

## イネ玄米形の主成分 (S1)

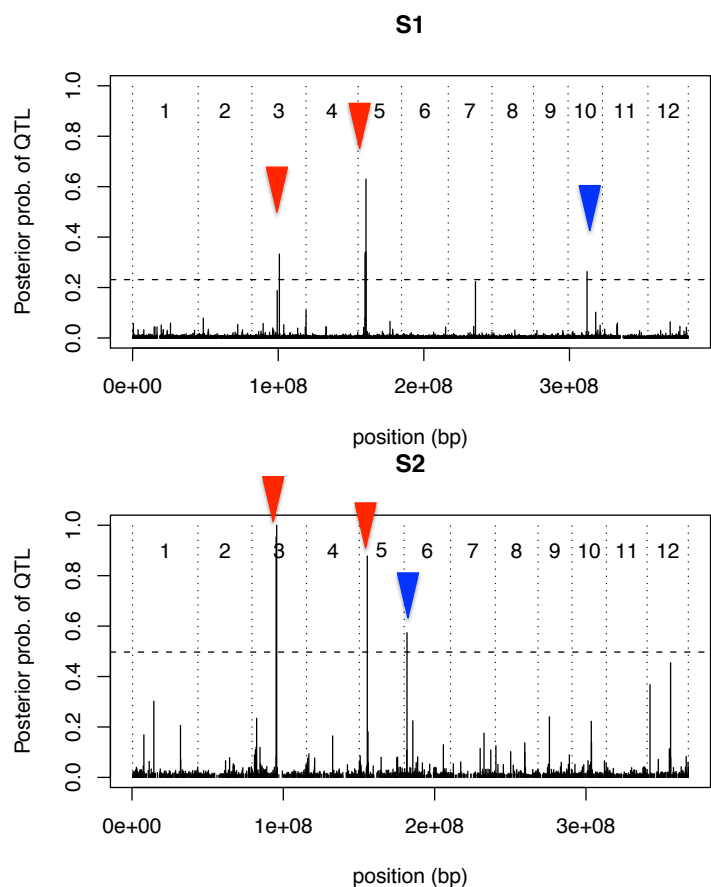


## Shape variations explained by PC scores (S1)

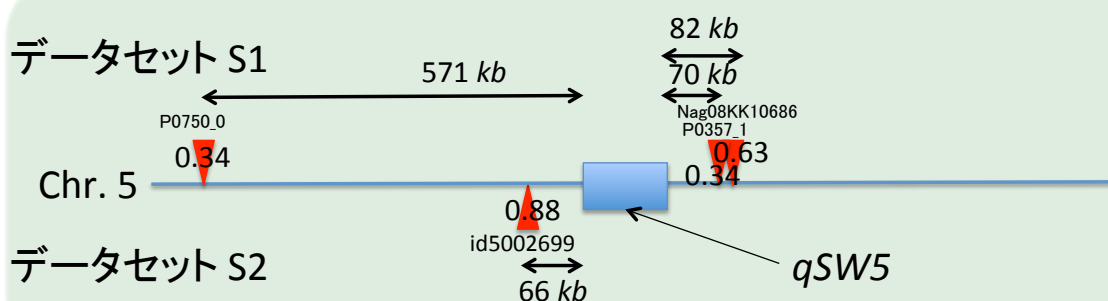
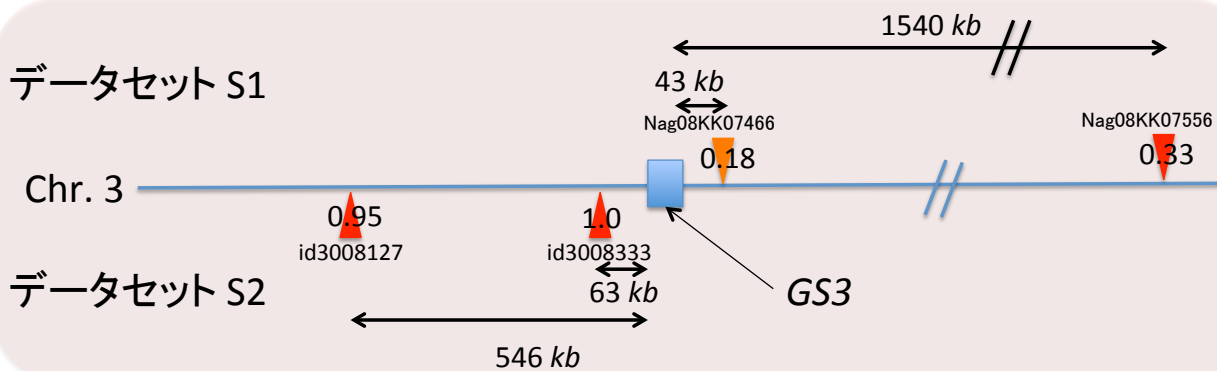


## GWAS結果

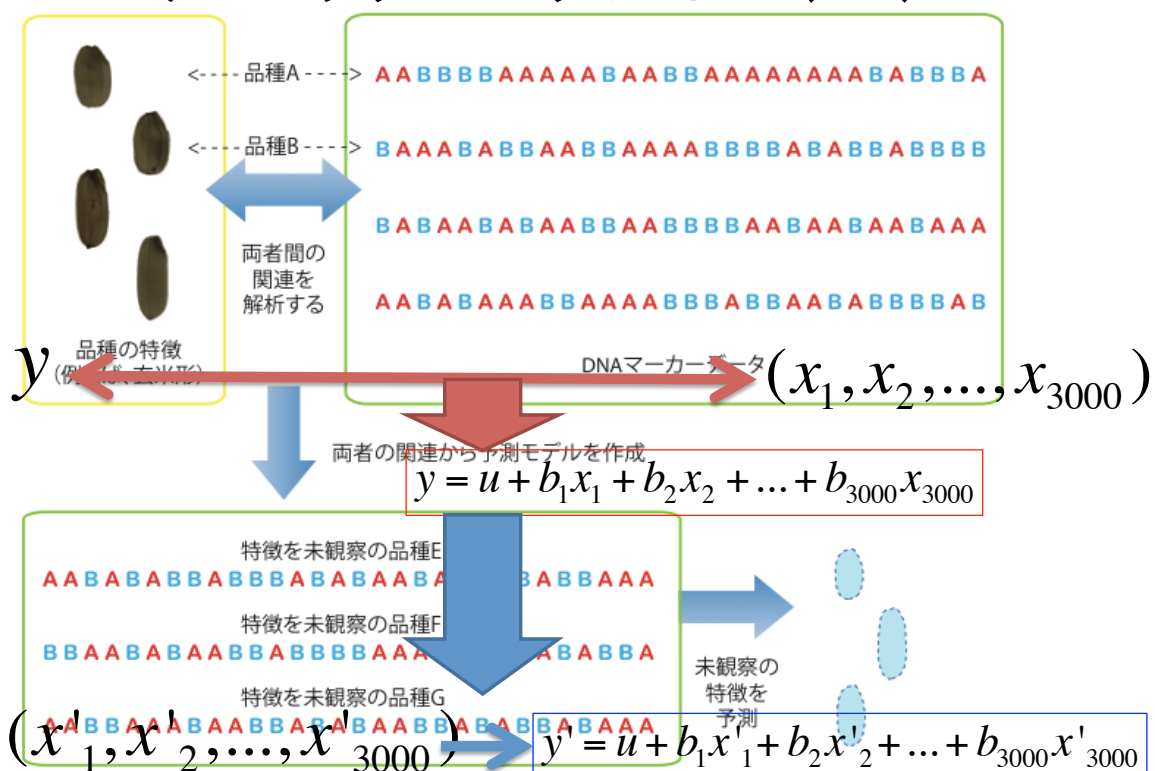
- 第1主成分で、2データセット間に共通のアソシエーションが検出された



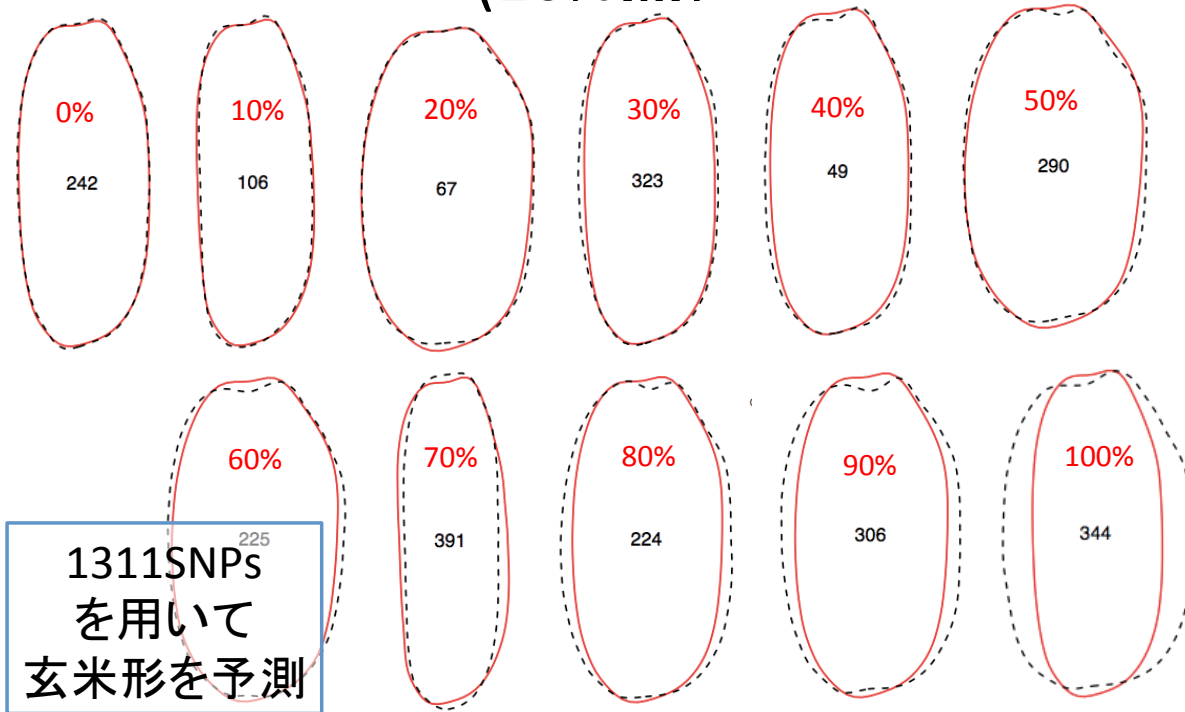
## 第3、第5染色体に検出された アソシエーション



## ゲノミックセレクション (GS)

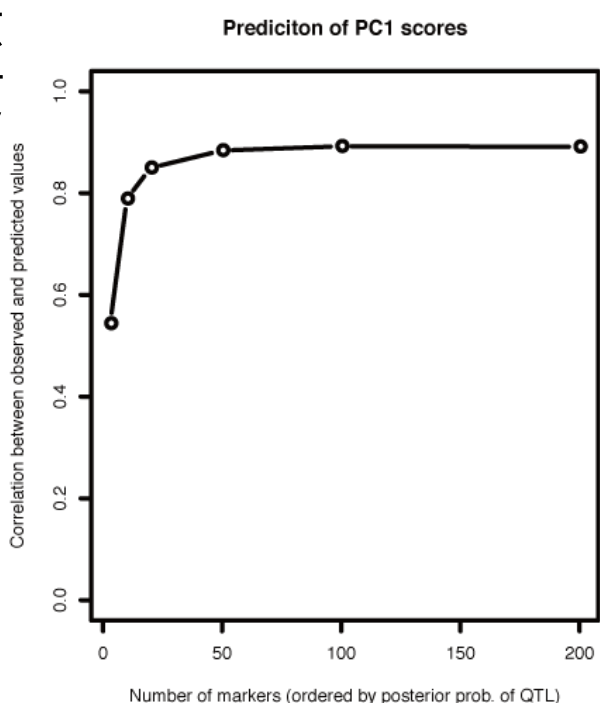


## 玄米形のゲノム予測 (S2) (10%点)



アソシエーションが有意でないマーカーも、形質の予測に必要である

- 効果の大きなQTLだけでは、玄米形変異を十分正確に説明できない
- 多数のQTLの効果を同時に考慮した予測が不可欠である



# 生物形態のGWASとGSの展望

- ・ゲノム情報が安価に大量に得られるようになり、形態研究の幅が広がりつつある
- ・例えば、形態の定量的評価値とGWASを組合せることで、形態を支配する遺伝子やその遺伝システムを明らかにできる
- ・例えば、ゲノムワイドマーカーだけから観察していない(できない)形態を予測することもできる
- ・一方、形態情報はゲノム情報に比べるとハイスクール計測が大変である  
(phenomicsはomics分野のボトルネック)

## Phenomics in the green house

**scanalyzer<sup>3D</sup> scanning modes**

Scanning in different wavelength and modes

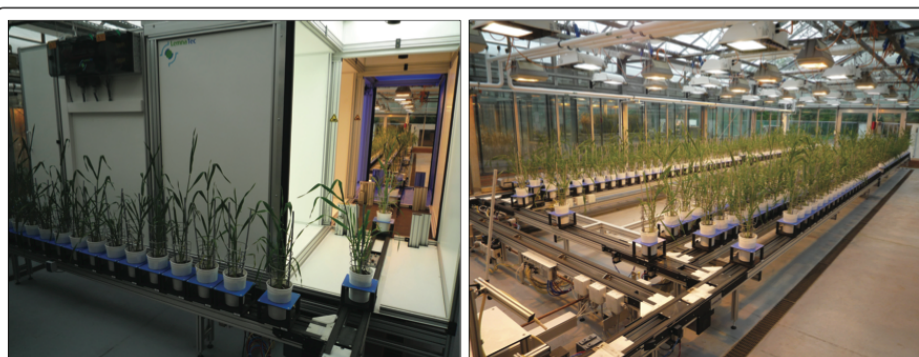
1. RGB visible light
2. NIR near infrared light
3. FLUOR fluorescent light
4. IR infrared light
5. ROOT NIR / RGB

**scanalyzer<sup>3D</sup> multiple imaging**

3D imaging of full plants

1. top View
2. side View
3. side View 90°
4. more views optional

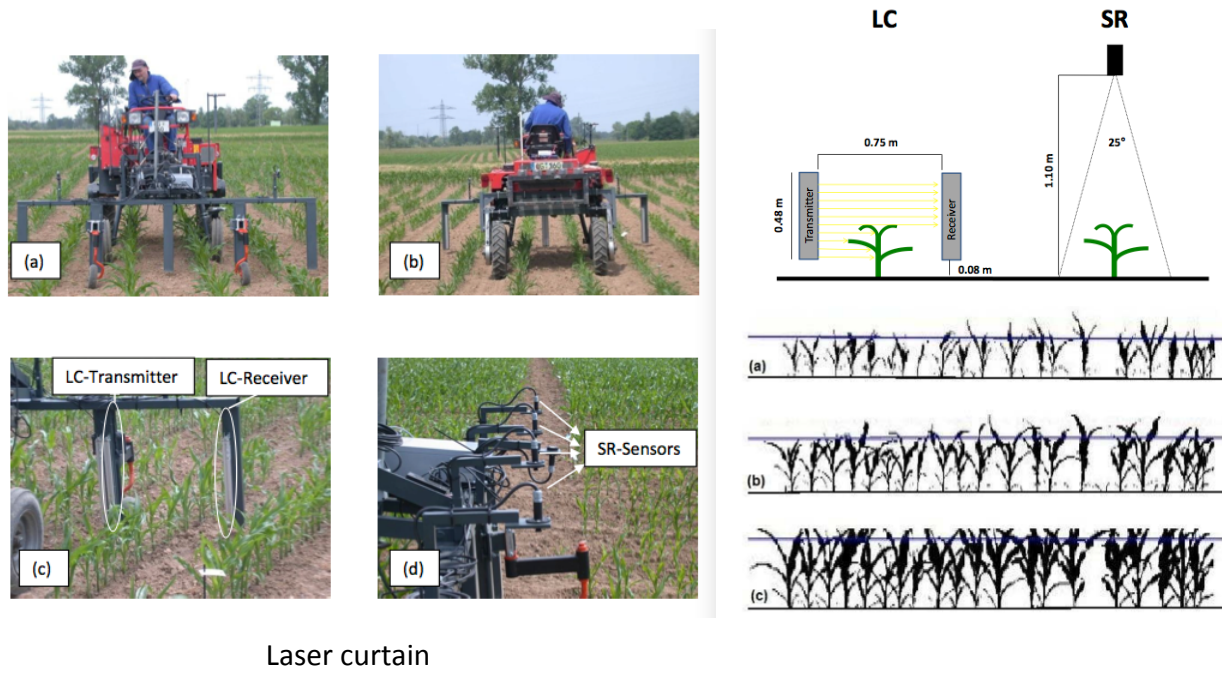
[http://www.lemnatec.com/sites/default/files/application-sheets/2011/09/23/LemnaTec\\_Presentation\\_Varna\\_CMBPS.pdf](http://www.lemnatec.com/sites/default/files/application-sheets/2011/09/23/LemnaTec_Presentation_Varna_CMBPS.pdf)



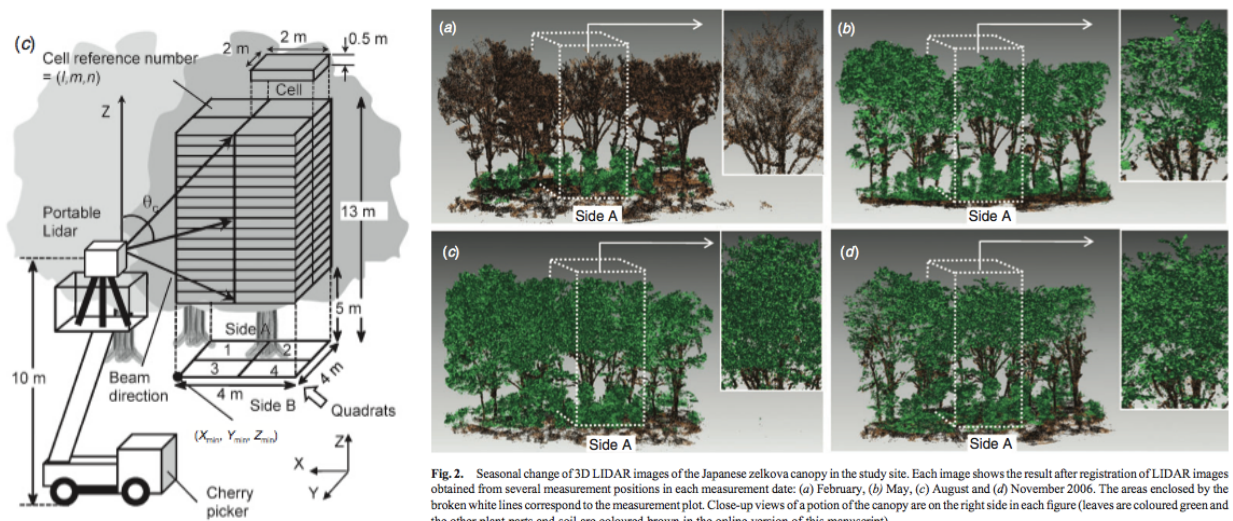
**Figure 1** View of the automatic greenhouse system. Image acquisition device for images in visible, near-infrared and ultra-violet spectra (left), greenhouse device consisting of a conveyor belt system carrying 312 barley plants (right).

Hartmann et al. (2011)  
Bioinformatics 12:148

# Phenomics in the field



# Phenomics in the forest



Light Detection And Ranging (LIDAR) imaging  
ケヤキのLAIの季節変動を計測  
平均平方誤差 $0.26 \text{ m}^2 \text{ m}^{-3}$

Hosoi and Omasa (2009) *Functional Plant Biology* 36: 998–1005

# 多検体を効率よく計測

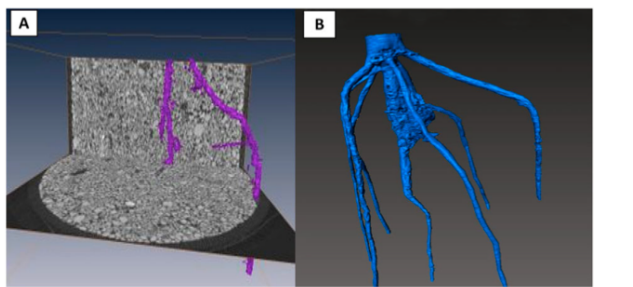


## バーコードリーダーを用いた表現型計測

トウモロコシNAM集団の計測におけるkey technologyの一つ

Kindly provided by Mr. Arturo Garcia

## 見えにくいものを見る化



Tracy et al. (2010) J Exp Bot 61:311

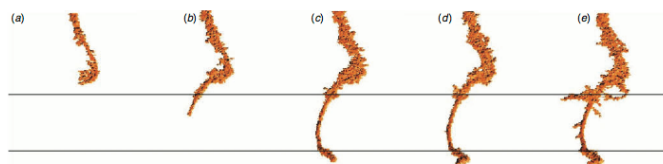
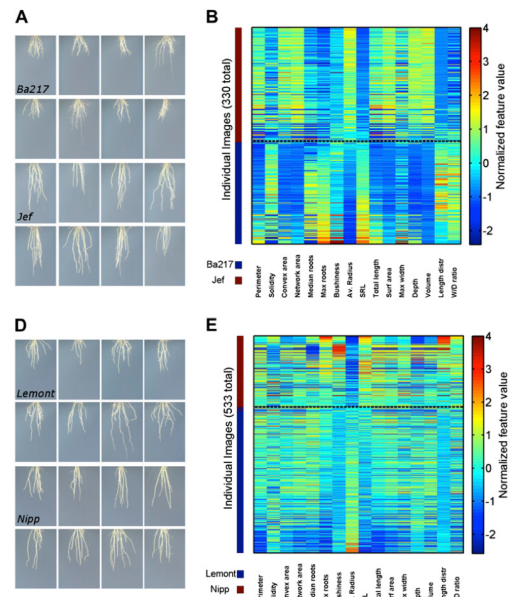


Fig. 3. Growth of a rape seedling through a soil band sandwiched between two sand layers measured with the X-ray instrument described by Gregory et al. (2003). The horizontal lines indicate the upper and lower boundaries of the soil band which was ~7 mm deep; (a) the single root 2 days after germination; (b) after 3 days the root has penetrated into the soil layer; (c) the root then passed through the soil layer (+4 days) and (d) 5 days; and (e) after 8 days, production of lateral roots had started in the soil band.



Iyer-Pascuzzi et al. (2010) Plant Physiology 152:1148

- 根の形状を解析(NMR, X-ray CT, 透明培地など)

# 世界のPhenomics施設




The screenshot shows the homepage of the INSTITUTE OF BIO- AND GEOSCIENCES (IBG). It features a banner for "INSTITUTE OF BIO- AND GEOSCIENCES (IBG)" and "Leibniz Institute of Plant Genetics and Crop Plant Research". The main content area includes sections for "Research" (with sub-sections like "Research Concept", "Dept. Genebank", "Dept. Cytogenetics and Genome Analysis", etc.), "Events", and "News". A sidebar on the left provides navigation links for various departments and services. A right sidebar shows an aerial view of the Biotech Campus Gatersleben.

*in Gatersleben*

## Phenome DBの例: PHENOPSIS DB



The screenshot shows the homepage of the PHENOPSIS DB website. It features a header with logos for Olepse, INRA, and AGRONOMICS, and a "LOG ON" button. The main content area includes sections for "PHENOPSIS DOCUMENTATION", "DATA BROWSING AND DOWNLOAD", "GRAPHS AND DESCRIPTIVE STATISTICS", and "IMAGE ANALYSIS AND IMAGE MACROS". A central image shows a robotic arm interacting with small plants in pots. To the right, there is a summary of the database's availability and a "LOG ON" form. At the bottom, there are links for "The PHENOPSIS movie", "User guide", "Suggestions or bugs?", "Web service", and "News".

- PHENOPSISを用いて自動収集されたArabidopsis thalianaの画像や表現型データが、実験プロトコルや実験メタデータ（環境条件など）とともに提供されている
- 画像解析や統計解析のためのスクリプトも提供されている

# Genomicsから Phenomicsへ

## 共同研究者

農業生物資源研究所

- ・江花薰子博士
- ・宇賀優作博士

農業・食品産業技術総合研究機構

中央農業総合研究センター

- ・林武司博士

神戸大

- ・山崎将紀博士